

# Исследование эффективности измерения азимутальных потоков в эксперименте MPD (NICA) с фиксированной мишенью

*П.Е. Парфенов<sup>a,b,c1</sup>, М.В. Мамаев<sup>a,b,c</sup>, А.В. Тараненко<sup>a,c</sup>*

<sup>a</sup> Объединенный Институт Ядерных Исследований, Россия

<sup>b</sup> Институт Ядерных Исследований Российской Академии Наук, Россия

<sup>c</sup> Национальный Исследовательский Ядерный Университет «МИФИ», Россия

Исследование свойств сильно-взаимодействующей материи при больших относительных барионных плотностях является одной из ключевых научных задач эксперимента MPD ("Многоцелевой Детектор") на ускорительном комплексе NICA. В работе исследуется эффективность измерения азимутальных коллективных потоков идентифицированных заряженных адронов на установке MPD в режиме работы с фиксированной мишенью.

Studying the properties of strongly-interacting matter at high relative baryon densities is one of the key scientific goals of the MPD (Multi-Purpose Detector) experiment at the NICA accelerator complex. The performance of measuring the azimuthal collective flow of identified charged hadrons at the MPD facility in fixed-target mode is studied in this work.

PACS: 44.25.+f; 44.90.+c

## Введение

Поиск сигналов начала деконфайнмента, фазового перехода первого рода и критической точки сильно-взаимодействующей ядерной (КХД) материи является основой для программ сканирования по энергии столкновения ядер от  $\sqrt{s_{NN}}=2.4$  до 11 ГэВ в системе центра масс [1]. Изучения фазовой диаграммы КХД материи в области барионных плотностей превышающих нормальную ядерную материю в 3-10 раз является одной из ключевых научных задач экспериментов: BM@N ("Барионная Материя на Нуклотроне") и MPD ("Многоцелевой Детектор") на ускорительном комплексе Nuclotron-NICA в ОИЯИ (г. Дубна) [2, 3].

Одними из важнейших экспериментально наблюдаемых эффектов, которые чувствительны к свойствам КХД материи, образуемой в релятивистских столкновениях тяжелых ионов, являются азимутальные коллективные потоки в рождении адронов. Амплитуда азимутальных потоков определяется коэффициентами  $v_n = \langle \cos(n(\varphi - \Psi_n)) \rangle$  в разложении в ряд Фурье зависимости выхода частиц от разницы между азимутальным углом импульса частиц  $\varphi$  и углом плоскости симметрии области перекрытия ядер  $\Psi_n$ , где  $n$  – порядок гармоники, и скобки обозначают среднее значение по частицам и событиям [4]. Благодаря своей чувствительности к ранним временам столкновения, первые два коэффициента

<sup>1</sup>E-mail: pparfenov@jinr.ru

$v_1$  (направленный поток) и  $v_2$  (эллиптический поток) являются одними из самых чувствительных к “жесткости” уравнения состояния (EOS) КХД материи [5–9]. Новые высокоточные дифференциальные измерения  $v_n$  из эксперимента BM@N на Нуклотроне ( $\sqrt{s_{NN}} = 2.4\text{--}3.5$  ГэВ) и эксперимента MPD на коллайдере NICA ( $\sqrt{s_{NN}} = 4\text{--}11$  ГэВ) помогут еще больше ограничить EOS симметричной материи в области высокой барионной плотности [10, 11].

В настоящее время активно обсуждается возможность использования детектора MPD для изучения столкновений тяжелых релятивистских ядер на фиксированной мишени (MPD-FXT). Это позволит: 1) расширить диапазон энергий столкновения ядер, изучаемый в эксперименте MPD до  $\sqrt{s_{NN}} = 2.4$  ГэВ; 2) полностью решить проблему уменьшающейся частоты ядерных столкновений при уменьшении энергии столкновения, характерную для работы ускорителя в коллайдерном режиме; 3) провести измерение столкновений одних и тех же ядер при одной и той же энергии в экспериментах BM@N и MPD. Последнее обеспечит расширение динамического диапазона измерений, т.к. установки обладают различными аксептансами, а также проведение сравнительных анализов для проверки и подтверждения получаемых результатов. В работе исследуется эффективность измерения азимутальных коллективных потоков идентифицированных заряженных адронов на установке MPD-FXT.

#### Детектор MPD-FXT в режиме работы с фиксированной мишенью

Для реализации программы MPD-FXT в вакуумную трубу коллайдера NICA должна быть установлена мишень, представляющая из себя тонкую проволоку диаметром 50-100 мкм, смещенную от центра канала на  $\sim 1$  см. Проволока должна быть установлена близко к торцу центрального барреля экспериментальной установки MPD для эффективной регистрации частиц, рождающихся в столкновениях, см. Рис. 1. При этом установка MPD будет состоять из тех же детекторных подсистем, что и в режиме коллайдера [3]: время-проекционная камера (TPC), время-пролетная камера (TOF), электромагнитный калориметр (EMCal), передний адронный калориметр (FHCAL) и быстрый передний детектор (FFD). Идентификация заряженных частиц может быть выполнена с использованием ионизационных потерь ( $dE/dx$ ) в газовом объеме TPC, квадрата массы частицы ( $m^2$ ) с использованием времени полета из TOF и импульса частицы из TPC. Плоскости симметрии могут бы оценены, используя треки в TPC и выделения энергии в модулях правой части FHCAL.

Для исследования эффективности установки MPD-FXT для измерения направленного  $v_1$  и эллиптического  $v_2$  потоков протонов и заряженных пионов было проведено численное моделирование 10M событий  $Bi + Bi$  столкновений для следующих энергий пучка  $E_{kin} = 1.45, 2.92$  и  $4.65$  АГэВ ( $\sqrt{s_{NN}} = 2.5, 3$  и  $3.5$  ГэВ). Для этого была использована модель UrQMD (версия 3.4) [12] с импульсно-зависимым средним полем. На основе GEANT4 [13] Монте-Карло моделирования отклика детекторных

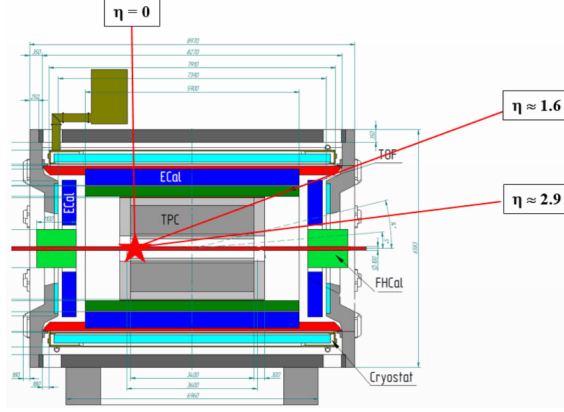


Рис. 1: Схема установки эксперимента MPD-FXT.

систем MPD и последующей реалистичной реконструкции сигналов в MPDROOT, были получены события для анализа.

#### Детали анализа

Для определения центральности столкновений использовалось распределение множественности ( $N_{ch}$ ) реконструированных треков заряженных частиц в TPC в диапазоне псевдобыстрот  $0 < \eta < 2$ . В качестве примера, открытыми символами на левой части Рис. 2 показано распределение  $N_{ch}$  для полностью реконструированных событий  $W + W$  столкновений при энергии  $E_{kin} = 1.45$  АГэВ ( $\sqrt{s_{NN}} = 2.5$  ГэВ). Для оценки центральности и восстановления распределения прицельного параметра  $b$  по множественности  $N_{ch}$  образующихся заряженных частиц, использовался "Г-fit" метод, основанный на обратной теореме Байеса [14]. В данном подходе, распределение множественности  $N_{ch}$  связано с центральностью, определенной по прицельному параметру  $c_b = \int_0^b P(b')db'$ , через флуктуационное ядро  $P(N_{ch}|c_b)$ :

$$P(N_{ch}|c_b) = \frac{1}{\Gamma(k(c_b)) \theta^{k(c_b)}} N_{ch}^{k(c_b)-1} e^{-\frac{N_{ch}}{\theta}}, \quad (1)$$

где  $\Gamma(k)$  гамма-функция с положительными параметрами  $\theta = \frac{\sigma(N_{ch})}{\langle N_{ch} \rangle}$  и  $k = \frac{\langle N_{ch} \rangle}{\theta}$ . Для параметризации средней множественности как функции  $c_b$  можно использовать  $\langle N_{ch} \rangle = N_{knee} \exp\left(\sum_{j=1}^3 a_j c_b^j\right)$ , с параметрами  $a_j$ ,  $N_{knee}$ . Функция распределения множественности  $P(N_{ch})$  строится из  $P(N_{ch}|c_b)$  следующим образом:  $P(N_{ch}) = \int_0^1 P(N_{ch}|c_b) dc_b$ . После нахождения оптимальных параметров ( $a_j$ ,  $N_{knee}$ ,  $\theta$ ), определяется условная вероятность  $P(b|N_{ch})$ , используя обратную теорему Байеса:  $P(b|N_{ch}) = P(b) \frac{P(N_{ch}|b)}{P(N_{ch})}$ . Закрытые символы на левой части Рис. 2 показывают полученную в результате подгонки параметров функцию параметризации  $P(N_{ch})$ , а вертикальные линии показывают полученные

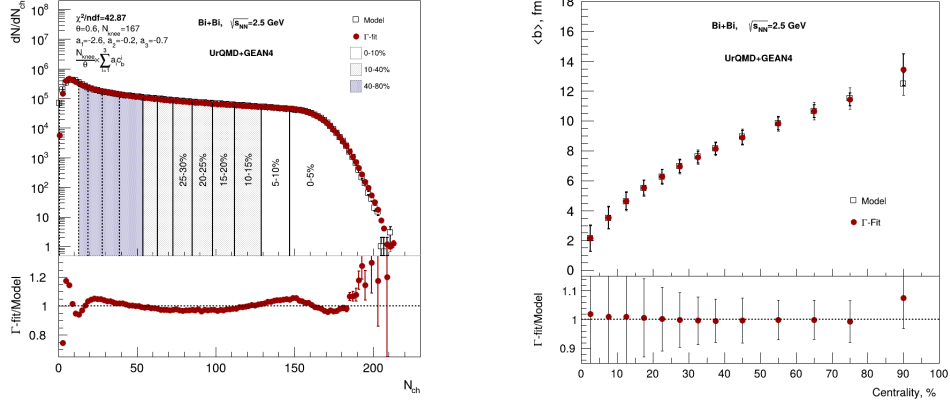


Рис. 2: Слева: Распределение множественности  $N_{ch}$  заряженных частиц в ТРС (открытые символы) и результирующая функция параметризации  $P(N_{ch})$  (закрытые символы) для столкновений  $Bi + Bi$  при энергии  $E_{kin} = 1.45$  АГэВ ( $\sqrt{s_{NN}} = 2.5$  ГэВ). Внизу указано отношение параметризации и первоначального распределения множественности. Справа: Зависимость средних значений прицельного параметра  $\langle b \rangle$  от центральности для модельных данных (открытые символы) и результата применения “ $\Gamma$ -fit” метода (закрытые символы).

классы по центральности: 0-5%, 5-10%, ... и так далее. На правой части Рис. 2 показана зависимость средних значений прицельного параметра  $\langle b \rangle$  от центральности. Результаты, полученные из “ $\Gamma$ -fit” метода, основанного на обратной теореме Байеса, (закрытые символы) довольно хорошо сходятся с оценками непосредственно из модельных данных (открытые символы).

Для идентификации протонов и положительно заряженных пионов использовалась информация об ионизационных потерях ( $dE/dx$ ) частиц в газовом объеме ТРС и времени пролета частиц в детекторе ТОФ. Все частицы с отрицательным зарядом считались отрицательно заряженными пионами. На левой части Рис. 3 приведена зависимость  $dE/dx$  от жесткости частиц  $p/q$ . Для описания использовалась параметризация эксперимента ALICE (LHC), использующая 5 параметров [15]:

$$f(\beta\gamma) = \frac{p_1}{\beta^{p_4}} \left[ p_2 - \beta^{p_4} - \ln \left( p_3 + \frac{1}{(\beta\gamma)^{p_5}} \right) \right], \quad (2)$$

где  $\beta^2 = p^2/(m^2 + p^2)$ ,  $\beta\gamma = p/m$ , а  $p_i$  – параметры аппроксимации. После параметризации данной функцией были построены  $n$ - $\sigma$  распределения  $\left( (dE/dx)^{measured} - f(\beta\gamma) \right) / f(\beta\gamma)$  от жесткости  $p/q$ . Далее эти распределения были параметризованы функцией Гауса в разных диапазонах жесткости и получены соответствующие величины средних квадратичных отклонений  $\sigma(dE/dx)$ . Схожим образом были параметризованы распределения квадратов масс ( $m^2$ ) частиц в разных диапазонах жесткости и получены  $\sigma(m^2)$ . На правой части Рис. 3 показана зависимость  $m^2$  частиц от жесткости  $p/q$ . Данные процедуры были проделаны для прото-

нов и положительно заряженных пионов. Далее были определены новые

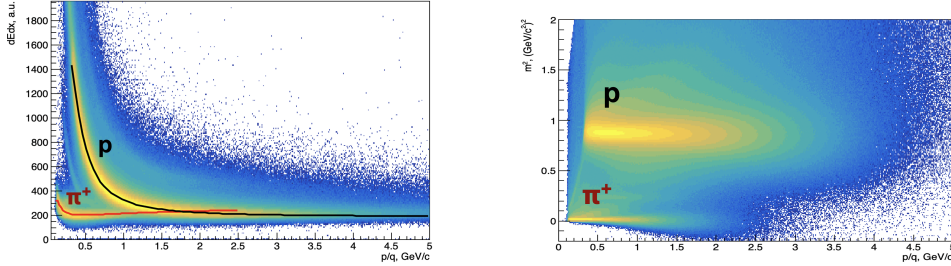


Рис. 3: Зависимость удельных потерь энергии частиц в ТРС  $dE/dx$  (слева) и квадрата массы ( $m^2$ ) частиц (справа) от жесткости  $p/q$  для столкновений  $Вi + Вi$  при энергии  $E_{kin} = 1.45$  АГэВ ( $\sqrt{s_{NN}} = 2.5$  ГэВ).

координаты  $(x, y)$  с помощью полученных параметризаций:

$$x_p = \frac{\left( (dE/dx)^{measured} - f_p(\beta\gamma) \right)}{f_p(\beta\gamma) \sigma_p(dE/dx)}, \quad y_p = \frac{m^2 - m_p^2}{\sigma_p(m^2)}, \quad (3)$$

где нижний индекс "p" означает тип частицы, для которой были определены координаты  $(x, y)$ , а  $m_p^2$  – табличное значение квадрата массы частицы. В итоге, для идентификации протонов и  $\pi^+$  использовались критерии отбора по координатам  $(x, y)$ :  $\sqrt{x_p^2 + y_p^2} < 2$ ,  $\sqrt{x_\pi^2 + y_\pi^2} > 3$  для протонов и  $\sqrt{x_\pi^2 + y_\pi^2} < 2$ ,  $\sqrt{x_p^2 + y_p^2} > 3$  для  $\pi^+$ .

Метод скалярного произведения был применен для получения результатов для коэффициентов направленного  $v_1$  и эллиптического  $v_2$  потоков протонов и пионов. В этом методе коэффициенты  $v_n$  можно записать через вектора потока  $Q_n$  и единичные вектора  $u_n$  [16–19]. Единичный вектор  $k$ -й частицы в событии можно определить как  $u_{n,k} = e^{in\varphi_k} = (\cos n\varphi_k, \sin n\varphi_k)$ , где  $\varphi_k$  – азимутальный угол импульса частицы. Вектор потока  $Q_n$  определяется как взвешенная сумма всех единичных векторов  $u_n$  в выбранной группе частиц в событии, называемом подсобытием:  $Q_n = \sum_{k=0}^M \omega_k u_{n,k} = |Q_n| e^{in\Psi_n}$ . Здесь  $M$  обозначает множественность частиц, входящих в данный вектор потока, а  $\Psi_n$  – угол плоскости симметрии. Единичные вектора  $u_n$  и вектора потока  $Q_n$  также были взвешены на эффективность при соответствующих значениях поперечного импульса  $p_T$  и быстроты  $y$  частицы. На правой части Рис. 4 показана карта эффективности реконструкции протонов в плоскости  $p_T$  от  $y$ . Величина эффективности определена как  $eff = \frac{dN/dydp_T(reco)}{dN/dydp_T(sim)}$ , где  $dN/dydp_T(reco)$  – число идентифицированных протонов в соответствующем диапазоне  $p_T$  и  $y$ , а  $dN/dydp_T(sim)$  – аналогичная величина, полученная из первоначальных модельных данных. Коэффициенты  $v_n$  можно получить, проецируя вектор частицы  $u_n$  на  $Q$ -вектор  $Q_n$ :  $v_n = \langle u_n Q_n \rangle / R_n$ , где  $R_n$  называется поправочным коэффициентом разрешения плоскости симметрии, а скобки обозначают среднее значение по частицам и событиям. Аксептанс FHCAL был разделен на три подсобытия: F1, F2 и F3, см. левую панель на Рис. 5). В дополнении было использовано подсобытие (Tr) из ТРС

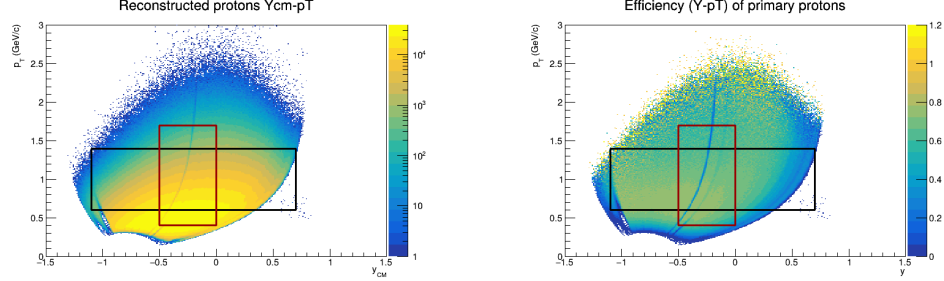


Рис. 4: Слева: Акцептанс протонов в плоскости  $p_T$ - $y$  для столкновений  $Вi + Вi$  при энергии  $E_{kin} = 1.45$  АГэВ ( $\sqrt{s_{NN}} = 2.5$  ГэВ). Справа: Карта эффективности реконструкции протонов в плоскости  $p_T$ - $y$ . Величина эффективности указана цветом. Рамками обозначены кинематические окна для зависимостей  $v_n$  от  $y$  (черные линии) и  $p_T$  (красные линии).

(см. правую панель на Рис. 5) в кинематическом окне  $-1 < y_{cm} < -0.6$ , чтобы учесть возможную автокорреляцию между соседними подсобытиями (т.е. F1-F2 и F2-F3). Для единичных векторов  $u_n$  брались только

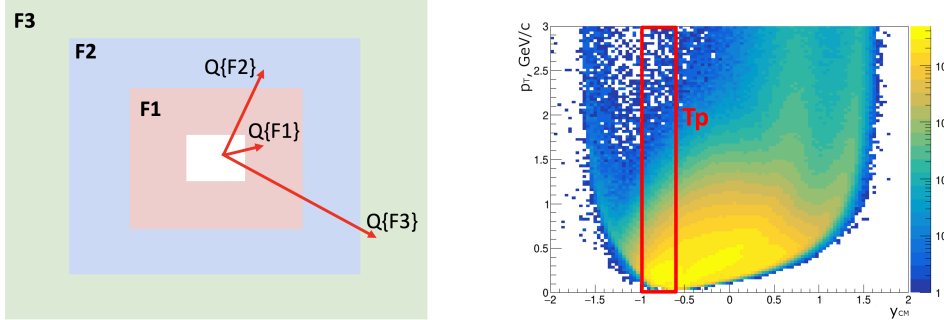


Рис. 5: Слева: Схематическое изображение модулей FHCAL, разделенных на три подсобытия (F1, F2 и F3), обозначенных разными цветами. Стрелки обозначают Q-векторы каждого подсобытия. Справа: Схематическое изображение кинематического окна (в плоскости  $p_T$ - $y_{cm}$ ) для дополнительного подсобытия (Tp) из TPC.

треки частиц с количеством хитов в TPC  $N_{hit} > 22$ , чтобы гарантировать качество треков. Отбор первичных треков был выполнен с помощью величины ближайшего расстояния трека до восстановленной первичной вершины:  $|DCA| < 1$  см. Измерения  $v_n$  были сделаны относительно плоскости симметрии первого порядка ( $n = 1$ ):

$$v_1 = \frac{\langle u_1 Q_1^{F2} \rangle}{R_1 \{F2\{Tp\}(F1, F3)\}}, \quad v_2 = \frac{\langle u_2 Q_1^{F1} Q_1^{F3} \rangle}{R_1 \{F1(TpF3)\} R_1 \{F3(TpF1)\}}, \quad (4)$$

где поправочные коэффициенты разрешения плоскости симметрии  $R_1$  рассчитывались следующим образом:

$$R_1 \{F1(TpF3)\} = \sqrt{\frac{\langle Q_1^{F1} Q_1^{Tp} \rangle \langle Q_1^{F1} Q_1^{F3} \rangle}{\langle Q_1^{Tp} Q_1^{F3} \rangle}}, \quad R_1 \{F2\{Tp\}(F1, F3)\} = \frac{\langle Q_1^{F2} Q_1^{Tp} \rangle}{R_1 \{Tp(F1F3)\}}. \quad (5)$$

Уравнения для  $R_1\{F3(TpF1)\}$  и  $R_1\{Tp(F1F3)\}$  эквивалентны уравнению для  $R_1\{F1(TpF3)\}$  с заменой подсобытий (F1,F3) и (F1,Tp) соответственно. Для коррекций результатов на неоднородности в азимутальном акцептансе детектора, были использованы поправки для Q-векторов: рецентринг (recentring), поворот (twist) и масштабирование (rescale) [16].

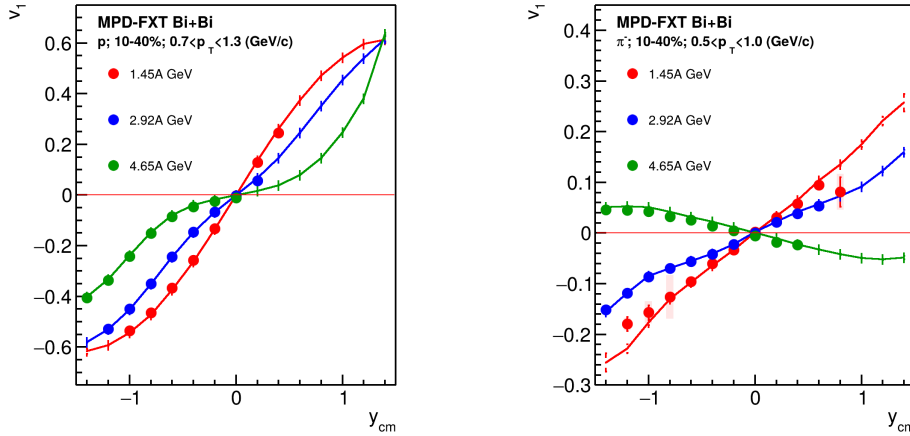


Рис. 6: Зависимость  $v_1$  протонов (слева) и пионов  $\pi^-$  (справа) от быстроты  $y_{cm}$  для 10-40% центральных  $\text{Bi} + \text{Bi}$  столкновений при  $E_{kin} = 1.45, 2.92$  и  $4.65$  АГэВ. Закрытыми символами показаны значения  $v_1^{reco}$  из анализа полностью реконструированных событий, а сплошными линиями значения  $v_1^{true}$  напрямую из модели.

## Результаты

На рисунках 6, 7 показаны зависимости  $v_1(y_{cm})$  и  $v_2(p_T)$  потоков протонов и пионов  $\pi^-$  для 10-40% центральных  $\text{Bi} + \text{Bi}$  столкновений при  $E_{kin} = 1.45, 2.92$  и  $4.65$  АГэВ ( $\sqrt{s_{NN}} = 2.5, 3$  и  $3.5$  ГэВ, соответственно). Закрытые символы представляют результаты  $v_n^{reco}$  анализа полностью реконструированных данных, а сплошные линии показывают  $v_n^{true}$  результаты, полученные напрямую из модели UrQMD. Разные цвета представляют разные энергии. Сравнение показывает, что результаты  $v_n^{reco}$ , полученные из анализа реконструированных данных и из модели UrQMD  $v_n^{true}$  хорошо согласуются в области быстрот  $y_{cm} \lesssim 0.5$ . Расхождения в передней области быстрот являются результатом плохого акспетанса и эффективности идентификации частиц при  $y_{cm} > 0.5$  в MPD-FXT.

Результаты анализа  $v_1(y_{cm})$  протонов также сравнивались с результатами исследования эффективности измерения потоков в эксперименте BM@N [19] для  $\text{Bi} + \text{Bi}$  столкновений при  $E_{kin} = 1.45$  АГэВ, см. Рис. 8. Сплошные линии представляют  $v_1^{true}$  результаты из модели UrQMD, а символы – результаты анализа полностью реконструированных событий MPD-FXT и BM@N. Сравнение показывает, что MPD-FXT лучше сможет проводить измерения потоков в области задних и средних быстрот, в то время как BM@N лучше справляется с точностью измерений в области передних быстрот. В этом отношении эксперименты MPD-FXT и

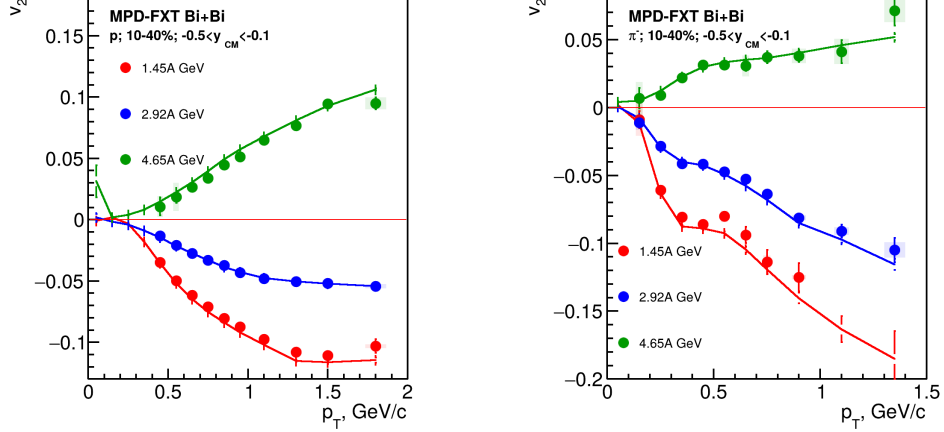


Рис. 7: Зависимость  $v_2$  протонов (слева) и пионов  $\pi^-$  (справа) от  $p_T$  для 10-40% центральных  $\text{Bi} + \text{Bi}$  столкновений при  $E_{kin} = 1.45, 2.92$  и  $4.65$  АГэВ. Закрытыми символами показаны значения  $v_2^{reco}$  из анализа полностью реконструированных событий, а сплошными линиями значения  $v_2^{true}$  напрямую из модели.

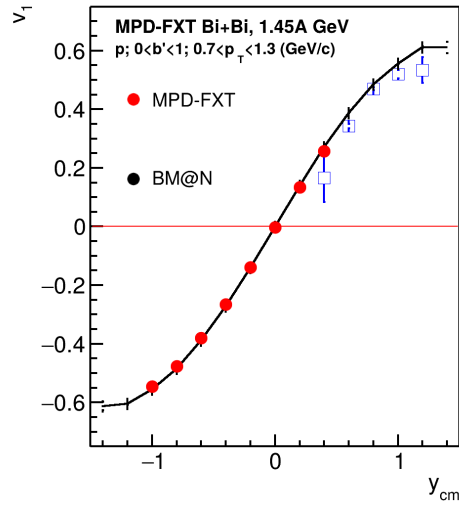


Рис. 8: Зависимость  $v_1$  протонов от быстроты  $y_{cm}$  в столкновениях  $\text{Bi} + \text{Bi}$  при  $E_{kin} = 1.45$  АГэВ, символами показаны результаты анализа полностью реконструированных событий моделирования экспериментов MPD-FXT и BM@N.

BM@N дополняют друг друга и обеспечивают более широкий охват области быстрот для дифференциальных измерений потоков.

### Заключение

В настоящей работе изучалась эффективность измерений направленного ( $v_1$ ) и эллиптического ( $v_2$ ) потоков протонов и заряженных пионов на установке MPD в режиме работы с фиксированной мишенью MPD-FXT. Было проведено моделирование эксперимента MPD-FXT с большой выборкой событий модели UrQMD, для  $\text{Bi} + \text{Bi}$  столкновений при

энергиях  $\sqrt{s_{NN}} = 2.5, 3$  и  $3.5$  ГэВ, в качестве входных данных. Для достижения реалистичной работы детекторных подсистем MPD-FXT использовался транспортный код GEANT4 и процедуры реконструкции из MPDROOT. Были протестированы реалистичные процедуры оценки центральности столкновений, плоскости симметрии, а также методы расчета поправочного коэффициента разрешения плоскости симметрии. Полученные результаты эксперимента MPD-FXT были проверены для измерений  $v_1$  и  $v_2$  протонов и заряженных пионов в зависимости от быстроты ( $y_{cm}$ ) и поперечного импульса ( $p_T$ ). Детальное сравнение результатов, полученных при анализе полностью реконструированных данных и данных на уровне генератора UrQMD, позволило сделать вывод, что система MPD-FXT будет достаточной для детальных дифференциальных измерений направленного и эллиптического потока в области быстрот  $y \lesssim 0.5$ . Сделан вывод, что эксперименты MPD-FXT и BM@N могут хорошо дополнять друг друга и обеспечивать более широкий охват по быстрой для дифференциальных измерений потоков.

#### Благодарности

Работа поддержана Министерством науки и высшего образования РФ, проект "Фундаментальные и прикладные исследования на экспериментальном комплексе класса мегасайенс NICA"FSWU-2024-0024

#### Список литературы

1. *Bzdak A., Esumi S., Koch V., Liao J., Stephanov M., Xu N.* Mapping the Phases of Quantum Chromodynamics with Beam Energy Scan // Phys. Rept. 2020. V. 853. P. 1–87. arXiv:1906.00936.
2. *Kekelidze V.D.* Heavy Ion Collisions: Baryon Density Frontier // Phys. Part. Nucl. 2018. V. 49, no. 4. P. 457–472.
3. *Abgaryan V. et al.* [MPD Collaboration] Status and initial physics performance studies of the MPD experiment at NICA // Eur. Phys. J. A. 2022. V. 58, no. 7. P. 140.
4. *Voloshin S.A., Poskanzer A.M., Snellings R.* Collective phenomena in non-central nuclear collisions // Landolt-Bornstein. 2010. V. 23. P. 293.
5. *Liu H. et al.* [E895 Collaboration] Sideward flow in Au + Au collisions between 2-A-GeV and 8-A-GeV // Phys. Rev. Lett. 2000. V. 84. P. 5488–5492.
6. *Pinkenburg C. et al.* [E895 Collaboration] Elliptic flow: Transition from out-of-plane to in-plane emission in Au + Au collisions // Phys. Rev. Lett. 1999. V. 83. P. 1295–1298.
7. *Adamczewski-Musch J. et al.* [HADES Collaboration] Directed, Elliptic, and Higher Order Flow Harmonics of Protons, Deuterons, and Tritons in Au + Au Collisions at  $\sqrt{s_{NN}} = 2.4$  GeV // Phys. Rev. Lett. 2020. V. 125. P. 262301.

8. *Adamczyk L. et al.* [STAR Collaboration] Elliptic flow of identified hadrons in Au+Au collisions at  $\sqrt{s_{NN}} = 7.7\text{-}62.4$  GeV // Phys. Rev. C. 2013. V. 88. P. 014902.
9. *Sorensen A., others.* Dense nuclear matter equation of state from heavy-ion collisions // Prog. Part. Nucl. Phys. 2024. V. 134. P. 104080. arXiv:2301.13253.
10. *Taranenko A.* Anisotropic flow measurements from RHIC to SIS // EPJ Web Conf. 2019. V. 204. P. 03009.
11. *Parfenov P.* Model Study of the Energy Dependence of Anisotropic Flow in Heavy-Ion Collisions at  $\sqrt{s_{NN}} = 2\text{-}4.5$  GeV // Particles. 2022. V. 5, no. 4. P. 561–579.
12. *Bleicher M., others.* Relativistic hadron hadron collisions in the ultrarelativistic quantum molecular dynamics model // J. Phys. G. 1999. V. 25. P. 1859–1896.
13. *Agostinelli S. et al.* [GEANT4 Collaboration] GEANT4—a simulation toolkit // Nucl. Instrum. Meth. A. 2003. V. 506. P. 250–303.
14. *Parfenov P., Idrisov D., Luong V.B., Taranenko A.* Relating Charged Particle Multiplicity to Impact Parameter in Heavy-Ion Collisions at NICA Energies // Particles. 2021. V. 4, no. 2. P. 275–287.
15. *Blum W., Rolandi L., Riegler W.* Particle detection with drift chambers Particle Acceleration and Detection. 2008. ISBN: 978-3-540-76683-4, 978-3-540-76684-1.
16. *Selyuzhenkov I., Voloshin S.* Effects of non-uniform acceptance in anisotropic flow measurement // Phys. Rev. C. 2008. V. 77. P. 034904.
17. *Mamaev M. et al.* [HADES Collaboration] Directed flow of protons with the event plane and scalar product methods in the HADES experiment at SIS18 // J. Phys. Conf. Ser. 2020. V. 1690, no. 1. P. 012122.
18. *Mamaev M. et al.* [HADES Collaboration] Estimating Non-Flow Effects in Measurements of Anisotropic Flow of Protons with the HADES Experiment at GSI // Phys. Part. Nucl. 2022. V. 53, no. 2. P. 277–281.
19. *Mamaev M., Taranenko A.* Toward the System Size Dependence of Anisotropic Flow in Heavy-Ion Collisions at  $\sqrt{s_{NN}} = 2\text{-}5$  GeV // Particles. 2023. V. 6, no. 2. P. 622–637.